

# Plazminëmis technologijomis formuojamø CO destrukcijai skirtø katalizatoriø sintezë ir savybiø tyrimas

Vilma Kruðnskaitë,  
Vitas Valinèius,  
Pranas Valatkevièius

Lietuvos energetikos institutas,  
Medþiagø tyrimø ir bandymø  
laboratorija,  
Breslaujos g. 3,  
LT-3035 Kaunas

Atsiþvelgiant á aplinkosaugos reikalavimus ir ekonominus rodiklius, katalizatoriø pramonëje brangios katalizinës medþiagos pakeistos paprastais ir pigiais metalø oksidais.

Naudojant nepusiausviràjá atmosferos slëgio oro plazmos srautà pagamintos didelá savitajà pavirðio ( $100\text{--}120 \text{ m}^2/\text{g}$ ) ir gerà adhezijà su pagrindu turinëios dangos, kuriø pasluoksnis sudaromas ið Al arba Al ir  $\text{Al(OH)}_3$  dalelio miðinio, o aktyvusis sluoksnis formuojamas ið Cu,  $\text{CuO}$ ,  $\text{Cr}_2\text{O}_3$  ir ceolito dalelio miðinio. Ið katalizinio dangø pagaminto katalizatoriø modelio efektyvumas ir gebëjimas oksiduoti CO nustatytais specialiai tam suprojektuotame ir pagamintame eksperimentiniame árenginyje.

Straipsnyje apraðyta eksperimentinio árenginio konstrukcija, jo apibendrintos charakteristikos bei eksperimentø vykdymo savitumai. Kataliziniø savybiø tyrimo rezultatai rodo, kad, vartojant autoriø sukurtus katalizatoriø modelius, CO konversija prasideda esant  $320^\circ\text{C}$  temperatûrai. Palyginus ávairiø katalizatoriø modelio savybes, nustatyta, kad ið Cu dispersiniø dalelio susitetintos katalizinës dangos savybës artimos ðiuo metu automobiliø pramonëje naudojamø tauriøjø metalø katalizatoriø savybëms. Pateiktas ðio katalizatoriaus modelio vidiniø sluoksnio pavirðiaus temperatûros pasiskirstymas pagal ilgá ir skerspjûvá bei nustatyta jo veikimo pradþia.

**Raktaþodþiai:** plazmotronas, katalizinë danga, katalizatorius, anglies monoksidas, katalizinë CO oksidacija

## 1. ÁVADAS

Didþiausi terðalø emisijos á atmosferà ðaltiniai Lietuvoje yra transportas ir energetikos ámonës. Su jø iðskiriamomis dujomis á atmosferà patenka po kelis ðimtus tûkstanèiø tonø terðalø kiekvienais metais. Autotransporto tarða sudaro apie 70–80% visos oro tarðos didþiuosiuose Lietuvos miestuose. Tarða pastoviavai auga, nes didëjant automobiliø skaièiui sunaudojama daugiau kuro ir á aplinkà paðalinama daugiau terðalø.

Literatûroje vis daþniau skelbiami straipsniai apie naujas transporto technologijas bei alternatyvias kuro rûðis. Jau iðtirta ir pradëta naudoti daug naujø energijos ðaltiniø, taèiau prabëgs dar ne vienas deðimtmetis, kol bus nauja kuro gavyba ir jam pritaikyti varikliai. Kol kas svarbiausia grieþtai laikytis nustatyto kenksmingøjo

medþiagø ðalinimo á atmosferà normø, maþinti iðmetamojø dujø koncentracijà. Tai ypaè svarbu Lietuvai stojant á Europos Sàjungà (ES), nes ES direktyvose nustatytos grieþtos didþiausios leistinos terðalø emisijos normos (LTEN) ávairiø rûðiø transporto priemonëms ir árenginiams (1 lentelë) [1]. Reikia ið anksto ruoðtis bûsimiems pokyèiams bei imtis prie moniø naujiems reikalavimams aplinkosaugos sistemos.

1 lentelë. ES nustatytos leistinos anglies monoksido (CO) emisijos normos

Metai	Karbiuratoriniai varikliai (g/km)	Dyzelininiai varikliai (g/km)	Galia (kW)	Nemobilùs varikliai** (g/kWh)
1993/94	2,72	2,72	130–560	3,5
1996/97	2,2	1,0	75–130	5,0
(*)	(2,7)	(1,06)		
2000/01	2,3	0,64	37–75	5,0
2005/06	1,0	0,50	18–37	5,5

\* Normø reikðmës tuðëiajai eigai, praëjus ne daugiau kaip 40 s nuo variklio paleidimo.

\*\* Normø reikðmës ásigalios nuo 2004 m.

moje ágyvendinti. Ateityje LTEN bus ávestos ir motociklams bei sugrieþtintos nemobiliems vidas degimo varikliams, taip pat savaeigëms maðinoms. LTEN bus taikomos net þemës úkio bei miðkø traktoriams ir maðinoms, skirsis tik jø ásigaliojimo laikas. Norint laikytis LTEN, nepakaks vien mechaninio ar cheminio-absorbcinio iðmetamøjø dujø valymo, o reikës taikyti visà kompleksà priemoniø, todël katalizatorius taps bûtina priemone visuose iðmetamøjø dujø neutralizavimo procesuose.

Sudarant Lietuvos aplinkos apsaugos normatyvinius dokumentus (LAND) atsiþvelgta á automobiliø senumà. Automobiliams, pagamintiem iki 1986 m. 10 mén. 01 d., leistinos CO emisijos normos 4 tûrio %, o po 1986 m. 10 mén. 01 d. – 3 tûrio % [2]. Visai kitokios normos taikomos automobiliams, turintiems trijø komponentø iðmetamøjø dujø neutralizavimo sistemas:

- esant minimaliam apsisukimø dapniui, CO leistina norma 0,5 tûrio %;
- esant didesniam kaip 2000 min<sup>-1</sup> apsisukimø dapniui, CO leistina norma 0,3 tûrio %.

Ið automobiliø iðmetimo vamzdþiø pasklinda apie 200 cheminiø junginiø, ið kuriø kenksmingiausi þmogaus sveikatai yra anglies monoksidas, azoto oksidai, angliavandeniliai, aldehidai, sieros junginiai, suodþiai. Ypatingà grupæ sudaro kancerogeninës medþiagos, pavyzdþiui, benzpirenas ir ðvino junginiai, kurie kaupiasi þmogaus organizme ir sukelia ligas. Pagal iðskiriamà kieká didþiausia pavojo kelias CO. Toksiðkas anglies monoksidas yra dalinio anglies oksidavimo produktas, susidarantis dël nesureguliuoto degimo proceso ar nekokybiðkos terðalø neutralizavimo sistemos. Iðskiriamuose terðaluose esantis anglies monoksidas atmosferoje iðsilaiko apie 0,3 metø. Augalams jis praktiðkai nekenkia, o þmogaus organizme jungiasi su hemoglobinu ir sudaro palyginti patvarø junginá – karboksihemoglobinà, kuris apskunkina deguonies apykaità. Jeigu kvépuojama oru, kuriame anglies monoksido koncentracija valandà iðsilaiko daugiau kaip 2,5 mg/m<sup>3</sup>, sunkiai apsinuodijama. Maksimali vienkartinë CO didþiausia leistina koncentracija (DLK) atmosferos ore 3,0 mg/m<sup>3</sup>, o vidutinë paros – 1,0 mg/m<sup>3</sup> [3].

Efektyviausias kenksmingojo medþiagø destrukcijos bûdas – katalizinis oksidavimas oro deguonimí á CO<sub>2</sub> ir H<sub>2</sub>O garus (1 pav.). Visas procesas vyksta katalizatoriaus paviršiuje, o toks mechanizmas vadinas heterogeniniu. Heterogeninë katalizë vyksta tarp keliø fazio. Paprastai katalizatoriumi bûna kietas kûnas, o reagentais – skysëiai arba dujos. Vartojant katalizatorius sumaþþia reakcijos temperatûra ir ðilumos, reikalingos junginio destrukcijai, sânaudos.

Uþsienio periodinëje mokslinëje literatûroje gausu straipsniø apie ávairias monolitiniø katalizatoriø gamyboje naudojamas katalizines medþiagas ir jø sa-



1 pav. Kenksmingojo medþiagø destrukcijos schema

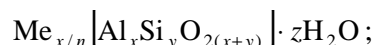
vybes [4-8]. Pasaulinëje automobiliø pramonëje vartojami keraminiai katalizatoriai pagaminti ið cheminiu bûdu tauriaisiais ir brangiaisiais metalais prisotintø aktyviø pavirðio (pagal „Aldrich 2003-2004“ katalogà Pd milteliø 1 g, priklausomai nuo grynumo ir smulkumo, kainuoja 140-70, Pt – ~200 euro, Rh – ~437 eurus). Tokios sudëties katalizatoriai þenkliai pakelia automobilio kainà, todël, norëdami iðspræsti ðià problemà, ávairojø ðaliø mokslininkai paskutiniais XX a. deðimtmeeðiais iðmetamøjø dujø nukenksminimui skirtø katalizatoriø gamybai pradëjo naudoti naujas medþiagas: ávairojø metalø oksidus (Al<sub>2</sub>O<sub>3</sub>, SiO<sub>2</sub>, ZrO<sub>2</sub>, Cr<sub>2</sub>O<sub>3</sub>, Fe<sub>2</sub>O<sub>3</sub>, TiO<sub>2</sub>, V<sub>2</sub>O<sub>5</sub>, B<sub>2</sub>O<sub>3</sub>, K<sub>2</sub>O ir kt.), ceolitus bei jø miðinius, anglies darinius, polimerus. Katalizatoriø formavimo ið ðiø medþiagø galimybëmis domimasi ir Lietuvoje.

Atlikto darbo tikslas buvo iš pigio medþiagø miðiniø pagaminti katalizines dangas, suformuoti eksperimentinius katalizatoriø ir iðtirti jø katalizines savybes bei jas sâlygojanèius veiksnius.

## 2. TYRIMØ METODIKA

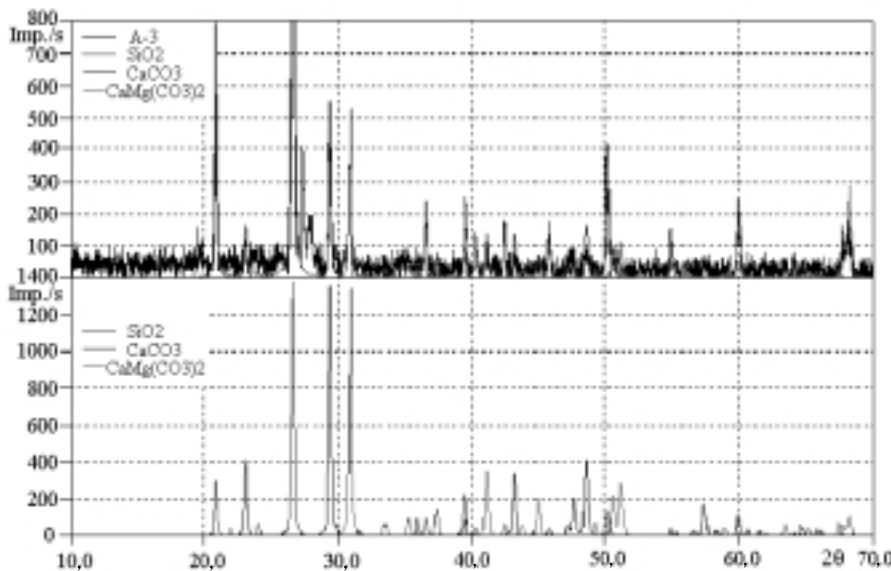
### 2.1. Katalizatoriaus sintezë

**Katalizinës medþiagos.** Bandymams buvo susintetintos katalizinës dangos ið pigio kataliziniu aktyvumu pasiþyminèio medþiagø: Cu, CuO, Cr<sub>2</sub>O<sub>3</sub>, Al(OH)<sub>3</sub>. Norint panaudoti Lietuvoje turimas þaliavas, taip pat buvo pagamintos katalizinës dangos naudojant ceolitus, iðkastus ið vietinio upelio dugno. Ceolitai – aliumosilikatai, kuriø kristalinë struktûra sudaryta ið SiO<sub>4</sub> ir AlO<sub>4</sub> tetraedrø, virðünëmis sujungtø á trimatá karkasà, iðvagotà ertmëmis ir kanalais, kuriuose yra vandens molekulës, metalø katijonai ar kiti jonai. Ceolito cheminë sudëta galima uþraðyti formule:



ëia Me – metalo katijonas, n – metalo oksidacijos laipsnis, x, y – aluminio ir silicio atomø skaièius, z – vandens molekulø skaièius.

Nors darbe naudotø ceolito cheminë sudëtis skiriði nuo ðiø metu pasaulyje vartojamø ceolito (natrolitas, mordenitas, heilanditas, erionitas ir kt.) sudëties, taèiau jie turi panaðià struktûrą ir fizines savybes. Ið ceolito milteliø rentgenogramos (2 pav.) matyti, kad



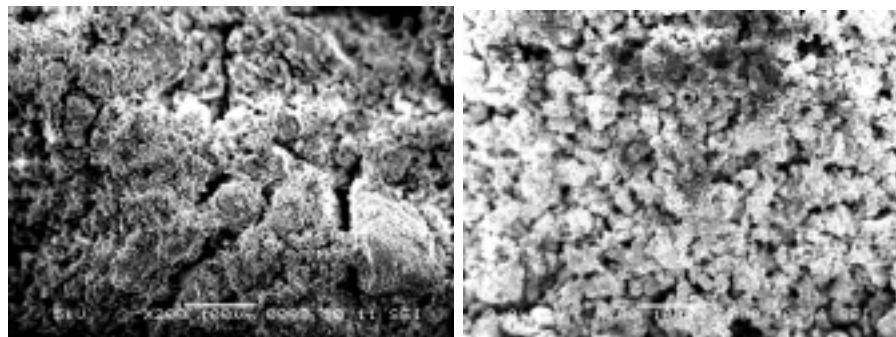
2 pav. Ceolitø rentgenogramma

jø sudëtyje yra katalizinémis savybëmis pasiþymintis Si oksidas bei Ca, Mg druskø jønai, aktyviai dalyvaujantys katalizéje, skaidant iðmetamosisse dujose esantá CO. Reikia paþymëti, kad rentgenogramoje nёra smailio, þyminiø dvimaèius ir trimæcius kompleksus, kuriø sudëtyje yra Al katijonas, kadangi difraktometras DRON-UM1 tokio struktûro neidentifikuoja.

Analizuojant skenuojan-  
eiu elektroniniu mikroskopu (SEM JSM-5600) pa-  
darytas nuotraukas (3 pav.) nustatyta, kad naudoto  
ceolitø ir Cr<sub>2</sub>O<sub>3</sub> su Al(OH)<sub>3</sub> miðinio milteliø daleliø  
iðorinë struktûra labai panaði, nors matmenys tarpu-  
savyje skiriasi keliais µm. Abiejø medpiagø dalelës  
yra apvalios, neturi aðtriø briaunø ir pakankamai bi-  
rios, nors nuotraukoje atrodo sulipusios. Plazmotro-  
no darbo reþimas, daleliø forma bei dydis nulemia  
dangos fizines-chemines savybes. Apvalios dalelës,  
skirtingai nei briaunotos (anglies, kvarcinio smëlio),  
dangos pagrindà padengia tolygiai, tvirtai prie jo pri-  
kimba, o katalizinio pavirðiaus aptaki forma pagrei-  
tina cheminius virsmus.

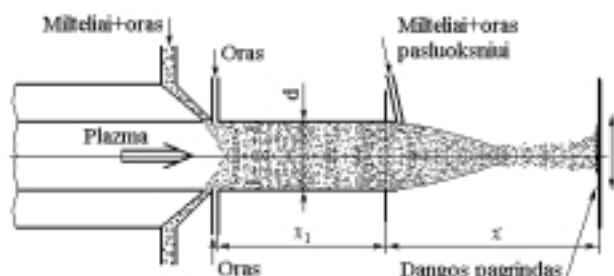
**Katalizinës dangos.** Katalizinës dangos buvo pa-  
gamintos taikant plazmines miltelines technologijas  
ant nerûdijanèio plieno juostø padengiant katalizið-  
kai aktyvius sluoksnius. Plazminiu bûdu sudarant  
dangas, aukðtos temperatûros oro srautà sukuria spe-  
cialus plazmotronas, kurio normaliam darbui reikia  
papildomø elektros, dujø, vandens tiekimo sistemø  
[9, 10]. A plazmotrono sukurtà srautà nepertraukia-

mai tiekiamos dispersinës dalelës, kurios ákaitinamos iki aukðtos temperatûros. Nagrinëjamuoju atveju Al arba Al ir Al(OH)<sub>3</sub> daleliø miðinys, ið kuriø sudaromas pasluoksnis, kartu su neðan-  
ëiu oru ápuèiamas á aukðtos temperatûros srautà 0,08 m uþ reaktoriaus (4 pav.). Pa-  
grindinë katalizinë danga sudaroma tiekiant Al(OH)<sub>3</sub>, Cr<sub>2</sub>O<sub>3</sub>, CuO, Cu daleliø miðiná uþ anodo á reaktoriaus pradþià. Dengti skirtas dangos pagrindas tvirtinamas prie 0,5 m ilgio ir 0,1 m skersmens 1000 aps./min besiskanèio plieninio bûg-

3 pav. Ceolitø (kairëje) ir Cr<sub>2</sub>O<sub>3</sub> mišinio su Al(OH)<sub>3</sub> (deðinëje) daleliø struktûros SEM vaizdas

no, kurio pavirðius izoliuotas stiklo audinio sluoksniu. Taip gaunamos geromis fizinémis bei mechaninémis savybëmis pasiþyminèios porëtos 30–50 · 10<sup>-6</sup> m storio dangos, turinëios didelá savitàjá pavirðio (100–120 m<sup>2</sup>/g) ir gerà adhezijà [9, 11].

Dangø formavimo metu buvo keièiama dispersinë daleliø miðiniø sudëtis ir dangos sluoksnio skai-  
cius. Naudotuose vibraciniuose dozatoriuose daleliø

4 pav. Kataliziniø dangø sudarymo árenginio schema: x – 0,08 m; x<sub>1</sub> – 0,04 m; d – 0,01 m

srautas reguliuojamas keièiant oro slégá rezervuare, vibracijø daþná bei neðanèio oro srautà.

**Katalizatoriaus modelis.** Atlikus pirminius tyrimus ir skaièiavimus, nustatyta, kad tolimesniams dangø kataliziniø savybiø tyrimui, naudojant 3,5 kW galios dujø deginimo stendà, reikalingas katalizatorius, kurio darbo pavirðius bûto  $0,26 \text{ m}^2$ . Tam reikia turëti ið abiejø pusio aktyviomis medþiagomis padengtas plieno juostas. Tokio katalizatoriaus gamyba ir tyrimas reikalauja dideliø indeliø, todël apsiribota katalizatoriø modeliais. Modeliuojant katalizatoriø tiriant jo savybes, numatyta naudoti nedidelius katalizinius pavirðius, o degimo produktø greièius ir temperatûras iðlaikyti analogiðkus anksèiau atliktiems bandymams [9]. Eksperimentams atlikti buvo paimta 10 katalizatoriø modeliø, pagamintø ið dviejø  $0,72 \text{ m}$  ilgio ir  $0,09 \text{ m}$  ploèio juostø (lygios ir gofruotos), specialia áranga susuktø á ritinëlius (2 lentelë). Tokie katalizatoriaus modeliai sudaryti ið  $410 \cdot 3 \cdot 10^{-3} \text{ m}$  þingsnio ir  $0,7 \cdot 10^{-3} \text{ m}$  aukðejo trikampio kanaliukø. Dangos pavirðiaus struktûrai pagerinti ir savitajam pavirðiui padidinti pagaminti katalizatoriaus elementai  $1,5 \text{ h}$  buvo termiðkai apdorojami  $560^\circ\text{C}$  temperatûroje.

## 2.2. Eksperimentinis dangø kataliziniø savybiø tyrimo árenginys ir tyrimø salygos

Projektuodami stendà rëmëmës vidaus degimo vairiklio iðmetamø degimo produktø neutralizavimui naudoto katalizatoriaus parametrais bei ankstesniais automobilio dujø iðmetimo vamzdþio tyrimais [9]. Eksperimentinio árenginio pagrindinës sudedamosios

dalys yra degimo kamera, kurioje gaunami tyrimams reikiamas temperatûros ir koncentracijos degimo produktai, ir eksperimentinis kanalas, skirtas procesams ant katalizinio pavirðiaus tirti (5 pav.). Metalinis árenginys ðilumos nuostoliams á aplinkà sumaþinti izoliuotas storu asbesto ir akmens vatos sluoksniu, padengtu aliuminio folija. Ið degimo kameros iðtekëjø degimo produktai patenka á katalizinio degimo kamerà, á kurià tiekiamas paðildytas oras, reikalingas anglies monoksido destrukcijai katalizatoriaus pavirðiuje.

A degimo kamerà tiekiamø 50% propano – 50% butano dujø miðinio ir oro srautai matuojami droseliniai prietaisais, kuriø veikimas paremtas statinio slégio skirtumo priklausomybe nuo fluido srauto. Diferencialiniu manometru iðmatavus slégio skirtumà prieð droseliná prietaisà ir uþ jo galima apskaièiuoti srautà. Naudojant tikslius papildomus dujø srauto matavimo prietaisus ir remiantis skaièiavimais buvo sudarytos taravimo kreivës, pagal kurias nustatytos þemiau pateiktos priklausomybës.

Diafragma (minimalus skersmuo  $1,5 \cdot 10^{-3} \text{ m}$ ) ið-matuotà dujø sekundiná srautà galima apskaièiuoti pagal lygtà

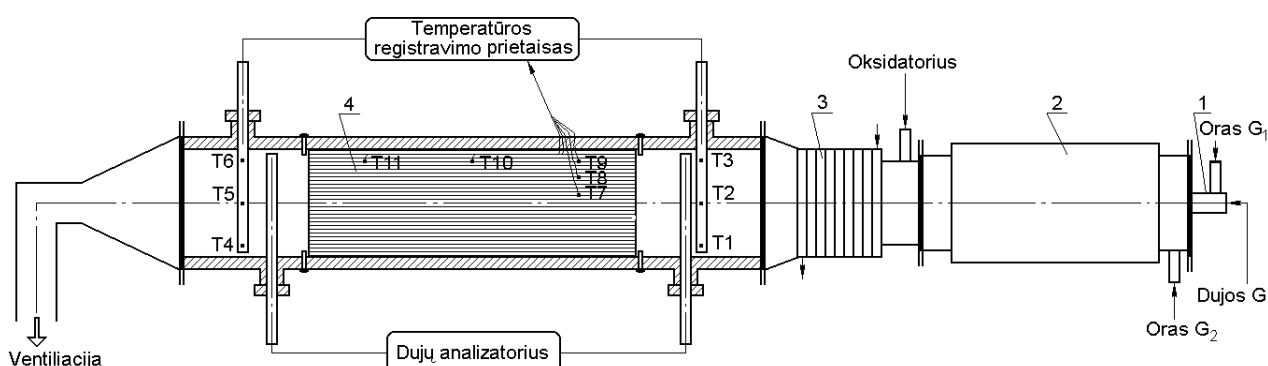
$$G = 3,47 \cdot 10^{-6} \alpha \cdot \varepsilon \cdot d^2 \sqrt{\Delta p \cdot \rho} \text{ kg/s}, \quad (1)$$

o oro srautà, nustatyta kritinio srauto tûta (minimalus skersmuo  $1 \cdot 10^{-3} \text{ m}$ ), pagal iðraiðkà

$$G = f \sqrt{2 \cdot \frac{k}{k-1} \cdot \frac{p_1}{V_1} \cdot \left[ \left( \frac{p_2}{p_1} \right)^{\frac{2}{k}} - \left( \frac{p_2}{p_1} \right)^{\frac{k+1}{k}} \right]} \text{ kg/s}; \quad (2)$$

2 lentelë. Katalizatoriaus modelio savybës

Dangos pagrindo pavirðiaus plotas	Kanaliukø tankis	Ilgis	Skersmuo	Skerspjûvio plotas	Aktyvusis skerspjûvio plotas	Tûris	Aktyvusis tûris
$0,26 \text{ m}^2$	$66/\text{cm}^2$	$0,09 \text{ m}$	$0,028 \text{ m}$	$0,615 \cdot 10^{-3} \text{ m}^2$	$0,431 \cdot 10^{-3} \text{ m}^2$	$55,4 \cdot 10^{-6} \text{ m}^3$	$38,8 \cdot 10^{-6} \text{ m}^3$



5 pav. Dangø kataliziniø savybiø tyrimo árenginio schema: T1-T11 – termoporos; 1 – degiklis; 2 – dujø degimo kamera; 3 – terminës stabilizacijos ruoþas; 4 – katalizatoriaus modelis

čia  $d$  – droselinio árenginio angos skersmuo m;  $f$  – tūtos siauriausios vienos skerspjūvio plotas m<sup>2</sup>;  $k$  – adiabatinio proceso pastovioji, kuri orui lygi 1,4;  $p_1$ ,  $p_2$  – slėgis prieš droseliná árenginá ir už jo Pa;  $\rho$  – slėgio skirtumas ( $\Delta p = p_1 - p_2$ ) Pa;  $V$  – dujų spefifinis tûris m<sup>3</sup>/kg;  $\alpha$  – dujų iðtekelimo koeficientas;  $\varepsilon$  – dujų iðsiplėtimo koeficientas;  $\rho$  – dujų tankis kg/m<sup>3</sup>.

Diafragmos matavimo paklaida ± 1,5%, tûtos ± 1%.

Prieš katalizatoriaus modelá apgaubtā izoliacijos sluoksniu ir standþiai átvirtintà cilindrinéje katalizinio degimo kameroje, ir už jo yra ávadai degimo produkto temperatûrai ir koncentracijai nustatyti. Temperatûra matuojama eksperimentinio kanalo skerspjûvyje iðdëstyтомis ðeðiomis 0,15 mm X-A (chromelio-alumelio) termoporomis: pirmoji ir treèioji ámontuotos prieš katalizatoriø 4 mm atstumu nuo kanalo sieneles, ketvirtoji ir ðeðtoji – už jo, o antroji ir penktoji – kanalo aðinéje linijoje (5 pav.). Tuo paèiu metu buvo matuojama katalizatoriaus modelio vidiniø sluoksnio pavirðiaus vietiné temperatûra ávairose vietose priðvirtintomis penkiomis X-A termoporomis. Šilumos nuostoliai spinduliavimu ir laidumu nebuvo ávertinti. Temperatûroms registruoti panaudota KEITHLEY (JAV) duomenø surinkimo sistema, o CO koncentracija degimo produktuose nustatyta infraraudonøjo spindulio dujø analizatoriumi (IR) Tecnotest 488. Analizei paimtos dujos, prieš patekdamos á IR, prateka per mechaniná filtrà ir kondensato atskyrëjâ.

Prieš katalizinius tyrimus, atsiþvelgiant á tiriamø katalizatoriø bûsimas realias darbo sâlygas vidaus degimo variklio dujø ðalinimo vamzdyje, buvo parinkti eksperimentinio árenginio darbo parametrai: dujø ir oro srautai, toksinës medþiagos koncentracijos, temperatûros ir greièiai. Bandymø metu per katalizatoriaus modelá pratekanèiø degimo produkto srautas, priklausomai nuo á degimo kamero tiekiamø dujø ir oro kiekiø, buvo  $1,52 \cdot 10^{-3}$  kg/s (esant 0°C ir 10<sup>5</sup> Pa), o CO koncentracija sudarë 2,5–3%. Panaðius anglies monoksono kiekus paðalina ir automobilio variklis, dirbantis liesu miðiniu. Be to, pasirinkus maþus ðios tokzinës medþiagos kiekus iðvengama katalizinës dangos perkaitimo pavojaus.

Nenaudojant aktyviø pavirðio CO oksidacija prasideda temperatûrai pakilus daugiau kaip 700°C, o katalizinës dangos ðios reakcijos temperatûrâ sumaþina 300–350°C. Á katalizinio degimo kameroje ir katalizatoriaus modelio kanaliukà átekanèiø 200–500°C temperatûros degimo produkto greitis apskaièiuotas ið srauto tolydumo lyties

$$w = \frac{V}{F} = \frac{G}{F \cdot \rho} \text{ m/s}; \quad (3)$$

čia  $F$  – degimo kameros ar kanaliuko skerspjûvio plotas m<sup>2</sup>;  $V$  – dujų tûris m<sup>3</sup>.

Ið literatûros [12] þinoma, kad katalizatoriai geriausiai dirba, kai dûmø pratekëjimo greièiai nedideliai. Tuomet toksinës medþiagos ilgiau uþsilaiko katalizatoriuje ir jo pavirðiuje oksidacija vyksta intensyviau. Mûsø sâlygomis katalizinio degimo kameroje greitis kito nuo 2,83 iki 4,64 m/s, o katalizatoriaus modelio kanaliuke 3,26–5,34 m/s. Esant pasirinktomis sâlygoms, Re kriterijus, nustatytas pagal kanaliuko ekvalentiná skersmená, yra 65–90, vadinasi tekëjimas – laminarinis.

Norint ásitikinti, ar bandymø stendas atitinka mûsø keliamus reikalavimus, Jame buvo iðtirtas ið automobilio iðimtas gerai veikiantis platinos katalizatorius, nes jo katalizinës savybës gerai þinomas. Atlirkus bandymus su platinos katalizatoriumi, jis toliau buvo naudojamas kaip pavyzdinis.

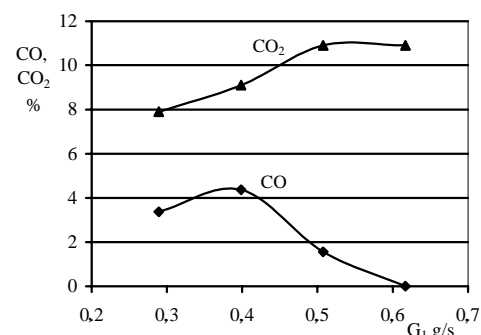
Ðiame darbe temperatûros ir greièio matavimø santykinë paklaida buvo ne didesnë kaip 1%, srauto matavimø – 1,5%, o CO koncentracijos – 2%.

### 3. TYRIMØ REZULTATAI IR JØ ANALIZË

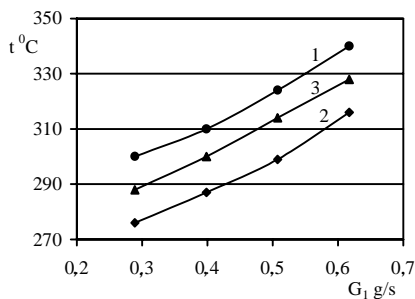
**Degimo proceso eksperimentiniame árenginyje ypatumai.** Gerai izoliavus degimo kameroje ir eksperimentiná kanalà, deginant ávairius propano–butano dujø ir oro kiekius, galima tiksliai reguliuoti CO koncentracijà. Tiriant eksperimentinio árenginio charakteristikas, buvo iðbandyti ávairûs darbo reþimai, keièiant dujø ir oro srautus. Didëjant pagrindinio oro ( $G_1$ ) srautui, o dujø ( $G$ ) ir papildomo oro ( $G_2$ ) srautams esant pastoviems, CO oksidacijos reakcija intensyvëja, iðsiskiria daugiau CO<sub>2</sub> (6 pav.) ir temperatûra kyla (7 pav.). Panaðûs reiðkiniai vyksta esant pastoviems  $G$  ir  $G_1$  kiekiams, o keièiantis  $G_2$ .

Kol eksperimentinis árenginys neizoliuotas, temperatûros katalizinio degimo kameros pradþijoje ir gale yra skirtingos (7 pav. 1, 2 kreivës) dël šilumos nuostoliø á aplinkà per plieninæ sienelæ. Uþdëjus izoliacijos sluoksná, temperatûra pagal eksperimentinio kanalo ilgá iðsilygina (7 pav. 3 kreivë).

Iðanalizavus eksperimentinio stendo bandymø rezultatus, ásitikinta, kad á árenginá galima naudoti to-



6 pav. CO ir CO<sub>2</sub> koncentracijø priklausomybë nuo pagrindinio oro srautu  $G_1$



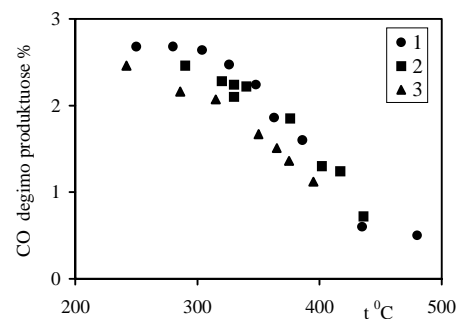
7 pav. Dujø srauto temperatūros kitimas neizoliuoto eksperimentinio kanalo pradþjoje (1 kreivë) ir gale (2 kreivë) bei izoliuotame eksperimentiniame kanale (3 kreivë) priklausomai nuo  $G_1$ .  $G = 0,084$  g/s,  $G_2 = 0,344$  g/s

lesniuose tyrimø etapuose: dangø kataliziniø savybiø, heterogeniniø procesø ir ðilumos mainø tyrimuose, o jo apibendrintomis charakteristikomis galima naudotis pasirenkant reikalingus dujø srauto parametrus.

**Katalizatoriø modelio katalizinës savybës.** Iðtyrus pagamintus oksidiniø katalizatoriø modelius dangø kataliziniø savybiø tyrimo stende (5 pav.), buvo ávertintas jø aktyvumas ir atrinkti keli efektyviausiai oksiduojantys CO, kuriø formavimo medþiagos pateiktos 3 lentelëje, o aktyvumas – 8 pav. Tyrimø eigoje stebëta ir jø aktyvumo priklausomybë nuo dangos sudëties. Á katalizinës dangos formavimo miðiná priðejus jo masei ekvivalentiná chromo oksido ( $\text{Cr}_2\text{O}_3$ ) kieká dangos katalizinës savybës gerokai pagerëja ir katalizatoriaus modelio aktyvumas padidëja 30–40%. Toliau didinant  $\text{Cr}_2\text{O}_3$  kieká miðinyje, vyksta katalizatoriaus deaktyvacija.

Dangos su natûraliais ceolitais, ið kuriø neatskirto priemaiðos ir nëra brangiø tauriøjø metalø priedø, laukiamø rezultatø nedavë. Literatûroje [13, 14] skelbiama, kad katalizinëmis savybëmis pasilþymi modikuoti ceolitai, kai jø sudëtyje yra retøjø þemës (La, Ce ir kitø) ar tauriøjø metalø katijonø. Siame darbe buvo tiriamos katalizinës dangos be minëtø metalø priedø, norint iðvengti katalizatoriaus kainos padidëjimo.

Norint ásitikinti, ar karðtos plieninës eksperimentinio kanalo sienelës neatlieka katalizatoriaus funkcijos ir dujø fazëje nevyksta oksidacija, buvo iðtirta tuðeioji konversija, t. y. atlikti tyrimai su katalizato-



8 pav. Oksidiniø katalizatoriø modelio aktyvumo priklausomybë nuo átekanèiø dujø temperatûros. Pymëjimai 3 lentelëje

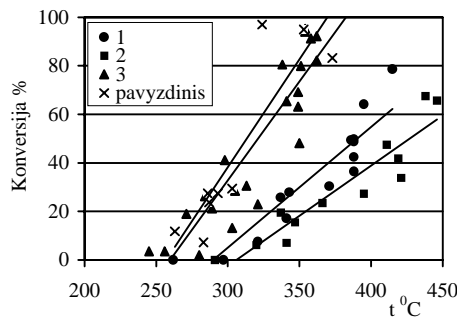
riaus modeliu, pagamintu ið nepadengtø plieno juostø, ir be jo. Nustatyta, kad CO konversija, esant pasirinktoms tyrimø sàlygomis, labai maþa (maþesnë nei 3%), todël, apibendrinant rezultatus, heterogeniniø reakcijø, vykstanèiø ant plieniniø sienelio, ir homogeniniø reakcijø, vykstanèiø dujø fazëje, buvo nepaisoma.

Suformuotø dangø katalizinëms savybëms ávertinti ir palyginti tomis paëiomis sàlygomis buvo iðtirtos minëto pavyzdinio katalizatoriaus savybës. Pastebëta, kad pavyzdinio katalizatoriaus ir 3-iuoju numeriu paþymëto katalizatoriaus modelio pavirðiuose CO oksidacija prasideda esant 260–280°C temperatûrai ir vyksta labai intensyviai (9 pav.). Naudojant kitus mûsø katalizatoriø modelius, CO katalizinis degimas prasideda aukðtesnëje temperatûroje, o konversija vyksta lëèiau. Katalizatoriause vertinant CO konverzijos intensyvumo priklausomybæ nuo temperatûros, bûtina atsiþvelgti á degimo produktø srautà bei katalizatoriaus pavirðiaus plotà. Esant pradinei degimo produktø temperatûrai 300°C ir  $10^{-3}$  kg/s srautui,  $0,43 \text{ m}^2$  aktyvaus paviršiaus ploto  $\text{CuO} + \text{Cr}_2\text{O}_3$  katalizatorius 3% CO visiðkai konvertuoja á  $\text{CO}_2$ . Tomis paëiomis sàlygomis analogiðko ploto katalizatoriaus modelis, pagamintas ið  $\text{CuO}$ , oksiduoja apie 4,5% CO, o pagamintas ið metalinio vario – daugiau kaip 20% CO. Taigi pastarasis efektyvumu labai artimas platinos katalizatoriui. Vadinas oksidino katalizatoriaus modelis, pagamintas ið dangos, kurià formuoojant  $\text{CuO}$  pakeistas grynu Cu, aktyvumu pralenkia visus kitus modelius. Tai galima paaiðkinti tuo, kad nepusiausvirojoje plazmoje vario dalelës prieð oksiduojant aktyvinamos, todël dengiamà pavirðio pasiekia reikiamas fazës vario oksidas. Be to, dël metalo molekuliø oksidacijos ir aktyvacijos plazmoje padidëja savitasis dangos pavirðius.

Atliekant tolimesnus tyrimus, pastebëtas ádomus reiðkinys. Maþiniant pagrindinio oro srautà, taèiau esant pakankamam  $\text{O}_2$  kiekiui, CO koncentracija degimo produktuose padidëja iki 4,5%, o oksidacijos reakcija tiek suintensyvëjo ir iðsiskyrë toks ðilumos

3 lentelë. Katalizinës dangos formavimo miðinio cheminë sudëtis

Katalizinës dangos Nr.	Medþiagos kiekis miðinyje %				
	Al	$\text{Al(OH)}_3$	$\text{Cr}_2\text{O}_3$	CuO	Cu
1	8	72	10	10	0
2	8	85	0	7	0
3	18	77	0	0	5

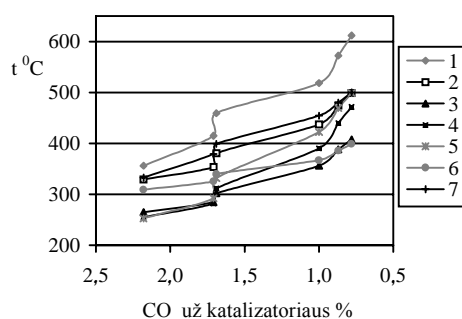


9 pav. CO konversijos priklausomybë nuo degimo produktø temperatûros. Þymejimai 3 lentelëje.

kiekis, kad katalizatoriaus modelio pavirðius ákaito iki raudonumo, nors maksimali átekanèio dujø temperatûra buvo ne aukðtesnë kaip 380°C, o iðtekanèio – 480°C. Vadinas, sumaþejus greièiui, degimo produktø srautas nepajegus nuo katalizatoriaus modelio sienelës nukreipti toká didelá ðilumos kieká. Siekiant apsaugoti kataliziná pavirðio nuo perkaitimo, reikia reguliuoti á katalizatoriø átekanèio anglies monoksono koncentracijà ir srauto tekëjimo greitá.

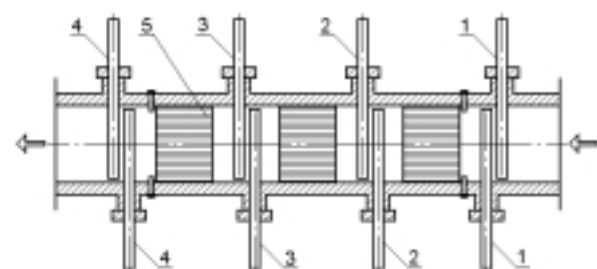
Norint nustatyti, ar vykstant reakcijai dangos pavirðiaus temperatûra kyla tolygiai, ir geriau suprasti ðiluminius procesus oksidacijos reakcijos eigoje, buvo iðtirtas katalizatoriaus modelio vidiniø sluoksniø pavirðiaus temperatûros pasiskirstymas. Ið tyrimø rezultatø (10 pav.) matyti, kad, vykstant CO destrukcijai, aukðëiausia temperatûra yra katalizatoriaus modelio centro zonoje. Nuo centro periferijos link temperatûra þenkliai maþëja. Kadangi eksperimentinis kanalas gerai izoliuotas ir negalimi dideli ðilumos nuostoliai á aplinkà, manoma, kad tokie temperatûros svyravimai gaunami dël skirtingo átekëjimo á eksperimentiná kanalà sàlygø ir susidariusiø dinaminio bei ðiluminio pasienio sluoksniø. Iðilgai katalizatoriaus elemento temperatûra kinta neþymiai.

Temperatûro, greièio ir CO koncentracijø pasiskirstymui pagal katalizatoriaus ilgá nustatyti vientisas  $9 \cdot 10^{-3}$  m ilgio katalizatoriaus modelis buvo ið-

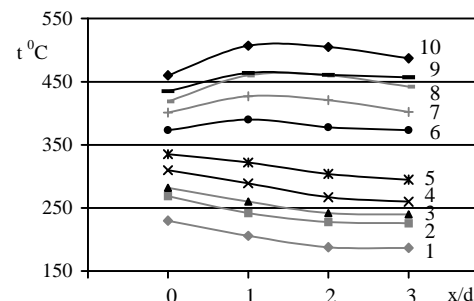


10 pav. Temperatûra ávairiuose srauto ir katalizatoriaus modelio vidiniø sluoksniø pavirðiaus taðkuose: 1-5 – termoporos ant katalizatoriaus modelio pavirðiaus; 6, 7 – termoporos dûmø sraute prieð katalizatoriaus modelá ir up jo

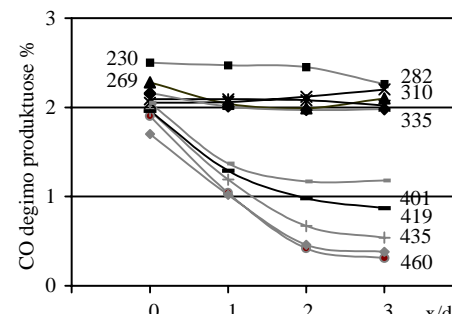
skaidytas á tris elementus po  $3 \cdot 10^{-3}$  m. Elementai buvo áðeti á tå patá kanalà, paliekant tarp jø tarpus, kuriuose matuota srauto temperatûra ir sudëtis (11 pav.). Ið rezultatø (12, 13 pav.) matyti, kad katalizatoriaus modelis pradeda veikti 335-373°C temperatûroje, kurià pasiekus CO kiekis þenkliai sumaþëja. Visais tirtais atvejais anglies monoksido konversija prasideda jau pirmojo elemento pradþioje ir palaipsniui tolygiai vyksta kituose elementuose. Vykstant oksidacijai katalizinio degimo kameroje, CO koncentracija degimo produkto sraute maþëja, o temperatûra palaipsniui kyla. Antrojo elemento pradþioje temperatûros kitimo kreivë trumpam stabilizuojasi, o po to pradeda kristi. Tai reiðkia, kad katalizatoriaus modelis nuo pjùvio, esanèio  $x/d = 3$ , nustoja



11 pav. Katalizinio degimo kameros su katalizatoriaus modelio elementais pjùvis: 1-4 – ávadai dujø temperatûrai ir sudëtai matuoti; 5 – katalizatoriaus modelio elementas



12 pav. Temperatûros pasiskirstymas trijø elementø katalizatoriaus modelyje iki jo veikimo pradþios (1-5 kreivës) ir jam veikiant (6-10 kreivës)



13 pav. CO koncentracijos katalizatoriaus modelio elementuose kitimas priklausomai nuo átekanèio dujø srauto temperatûros

veikas. Vienu atveju taip atsitiko dël to, kad visas CO buvo oksiduotas jau pirmajame elemente, o kitu – dël deguonies trûkumo tolesniam oksidavimui.

Norint tiksliai nustatyti katalizatoriaus modelio darbo pradþios temperatûrâ ir iðsiaðkinti katalizatoriaus kanaliukuose vykstanèius procesus, suprojektuotas ir gaminamas naujas eksperimentinis kanalas. Heterogeniniø ir ðilumininiø procesø tyrimai bus paþkelbti kaip ðio darbo tæsinys.

#### 4. IŠVADOS

1. Sukurta kataliziniø dangø sintezës technologija, naudojant atmosferos slëgio reaktyviø dujø plazmà, yra paþangi ir tinkama dangoms formuoti.

2. Suprojektuoto ir pagaminto 3,5 kW galios eksperimentinio árenginio apibendrintos charakteristikos rodo, kad Jame pasiekiamą lengvai reguliuojama reikiama degimo produktø koncentracija ir temperatûra, todël já galima naudoti dangø katalizinëms savybëms tirti.

3. Geriausiomis katalizinëmis savybëmis pasiþymi Lietuvos energetikos institute susintetinta nauja katalizinë danga, kurios pagrindinë aktyvioji medþiaga yra CuO. Ið jos pagaminto katalizatoriaus modelio katalizinës savybës artimos ðiuolaikiniuose vidaus degimo varikliuose naudojamø tauriøjø metalø katalizatoriø savybëms.

4. Katalizatoriaus modelio pavirðiuje vykstanèios reakcijos greitis labai priklauso nuo per já pratekanèio dujø srauto ir CO koncentracijos.

5. Katalizatoriaus modelio vidiniø sluoksniø pavirðiaus temperatûra pagal skerspjûvá pasiskirsto netolygiai dël dinaminio ir ðiluminio pasienio sluoksniø átekamojoje eksperimentinio kanalo dalyje.

6. Nepriklausomai nuo katalizatoriaus modelio ilgio, CO destrukcija prasideda jo pradþioje.

7. Ið keliø elementø pagamintame katalizatoriaus modelyje anglies monoksono oksidacijos intensyvumas priklauso nuo CO ir O<sub>2</sub> koncentracijø. Esant ðio dujø pertekliui, reakcija vyksta nuosekliai kiek-viename elemente, o kuriø nors pritrûkus, reakcija baigiasi tam tikrame atstume, priklausomai nuo jø koncentracijos.

Gauta  
2004 01 26

#### Literatûra

1. Bosteels D., Searles R. A. Exhaust emission catalyst technology // Platinum metals review. 2002. Vol. 8(1). P. 27–36.
2. Lietuvos Respublikos aplinkos apsaugos normatyvinis dokumentas LAND 14-2000 „Automobiliai su Otto varikliais. Anglies monoksidas ir angliavandeniliai išmetamosiose dujose. Normos ir matavimo metodai“.

3. Zdanavièius K., Kazlauskas A. ir kt. Atmosferos oro tarða ir jos sklaida // Lietuvos ekologinis tvarumas istoriniame kontekste. Vilnius, 1999. P. 757.
4. Over H., Muhler M. Catalytic CO oxidation over ruthe-nium-bridging the pressure gap // Progress in surface science. 2003. Vol. 72. P. 3–17.
5. Ma Y., Tong W., Zhou H., Suib L. S. A review of zeolite-like porous materials // Microporous and mesoporous materials. 2000. Vol. 37. P. 243–252.
6. Dong G., Wang J., Gao Y., Chen S. A novel catalyst for CO oxidation at low temperature // Catalysis letters. 1999. Vol. 58. P. 37–41.
7. Kiwi-Minsker L., Yuranov I., Siebenhaar B., Renken A. Glass fiber catalysts for total oxidation of CO and hydrocarbons in waste gases // Catalysis today. 1999. Vol. 54. P. 39–46.
8. Coq B., Planeix J. M., Brotons V. Fullerene-based materials as new support media in heterogeneous catalysis by metals // Applied catalysis A: General. 1998. Vol. 173. P. 175–183.
9. Kruðinskaitë V., Valatkevièius P., Valinèius V. Trikomponenèio metalø oksidø katalizatoriø sintezë taikant plazminės technologijas ir savybiø tyrimas // Cheminë technologija. 2000. Nr. 3(16). P. 74–83.
10. Valinèius V., Valatkevièius P., Pranevièius L. L. Elektros lanko panaudojimas dangoms formuoti // Elektronika ir elektrotechnika. 1999. Nr. 1(19). P. 26–29.
11. Valatkevièius P., Kruðinskaitë V., Valinèiûtë V., Valinèius V. Preparation of catalytic coatings for heterogeneous catalysts employing atmospheric pressure non-equilibrium plasma // Surface and coatings technology. 2003. Vol. 173–174. P. 1106–1110.
12. Holmgren A., Andersson B. Mass transfer in monolith catalysts – CO oxidation experiments and simulations // Chemical engineering science. 1998. Vol. 53. No. 13. P. 2285–2298.
13. Weyrich P. A., Trevino H., Hölderich W. F., Sachtleber W. M. H. Characterization of Ce promoted, zeolite supported Pd catalysts // Applied Catalysis A: General. 1997. Vol. 163. No. 1–2. P. 31–44.
14. Kurkina E. S., Tolstunova E. D. The general mathematical model of CO oxidation reaction over Pd-zeo-lite catalyst // Applied surface science. 2001. Vol. 182. P. 77–90.

**Vilma Kruðinskaitë, Vitas Valinèius, Pranas Valatkevièius**

#### SYNTHESIS AND PROPERTIES OF CATALYSTS FOR CO-DESTRUCTION FORMED EMPLOYING PLASMA SPRAY TECHNOLOGY

##### S u m m a r y

Due to ecological requirements and economical needs, in automotive catalyst the expensive catalytic materials have been replaced with simpler and cheaper metal oxides.

Well-adhered catalytic coatings having a highly developed effective surface area (100–120 m<sup>2</sup>/g) were formed employing a non-equilibrium plasma spray technology at atmospheric pressure. The coating sublayer was formed from Al or Al and Al(OH)<sub>3</sub> powder mixtures and the active layer was from different mixes of dispersed particles of Cu, CuO, Cr<sub>2</sub>O<sub>3</sub> and zeolites. The efficiency and

ability towards CO oxidation in the novel catalyst models produced from deposited catalytic coatings was established with the aid of specially designed and manufactured experimental equipment.

The article presents also a design of the experimental equipment, its generalized characteristics and the experimental procedure. The results on catalytic activity show that for the best catalyst models developed by authors, CO conversion begins at a gas temperature of 320 °C. A comparison of the properties of the manufactured catalyst models with noble material samples has shown that the catalytic activity in CO oxidation of catalytic coating prepared from a mixture containing pure copper is similar to the properties of a three-way automotive proprietary catalyst containing noble metals. The distribution of temperature along the transversal surface of internal layers of such catalyst model are shown and the temperature of the reaction beginning is determined.

**Key words:** plasma torch, catalytic coatings, catalyst, carbon monoxide, catalytic CO oxidation

**Вилма Крушинскайте, Витас Валинчюс,  
Пранас Валаткявичюс**

### ИССЛЕДОВАНИЕ СИНТЕЗА И СВОЙСТВ ПЛАЗМЕННЫМИ ТЕХНОЛОГИЯМИ СОЗДАВАЕМЫХ КАТАЛИЗАТОРОВ ДЛЯ ДЕСТРУКЦИИ СО

#### Резюме

Исходя из экологических требований и экономических потребностей в автомобильном катализаторе,

дорогие каталитические материалы были заменены более простыми и дешевыми окисями металлов.

В неравновесном плазменном потоке при атмосферном давлении получены хорошей адгезией и большой свободной поверхностью (100–120 м<sup>2</sup>/г) обладающие покрытия, подслой которых формировался из Al или смеси Al и Al(OH)<sub>3</sub> дисперсного порошка, а активный слой – из разных смесей (Cu, CuO, Cr<sub>2</sub>O<sub>3</sub> и цеолитов) дисперсных частиц. Из полученных каталитических покрытий изготовлены модели катализаторов. Их эффективность и способность оксидировать CO определялись на созданной экспериментальной установке.

Представлены также конструкция экспериментальной установки, ее обобщенные характеристики и методика ведения опытов. Результаты исследования каталитических свойств показывают, что для авторов созданных моделей CO конверсия начинается при температуре газа 320°C. В результате сравнения свойств разных модельных катализаторов установлено, что свойства каталитического покрытия, в состав которого входят дисперсные частицы меди, близки к свойствам катализаторов с покрытиями из благородных материалов, применяемых в автомобильной промышленности. Представлены распределения температуры поверхности внутренних слоев модельного катализатора по длине и по поперечному сечению, определена температура начала реакции.

**Ключевые слова:** плазмотрон, каталитическое покрытие, катализатор, окись углерода, каталитическая оксидация CO